

## 透水層内の噴流に関する研究

神戸大学工学部 正員 寛 穂亮  
京都大学大学院 学生員 ○久保田英之

### 1. まえがき

従来の流速計では透水層内の微速度を測定するにはむずかしく、透水層内の流速分布を測定した例は見られぬ。筆者らは定温性熱線流速計を透水層内へ応用した。熱線は流水に用ひたる酸化クロム被覆を行い、さらに熱線保護のために金網のキャップをかぶせ測定を行つた。

透水層内に point source を設けると、流れがゆるく乱れが少ないとき Darcy の法則に基く次式で流れとなる。次に動水こう配をあげ限界動水こう配以上になると、いわゆる「イックサンド現象」が生ずる。この場合イックサンド領域では流れは噴流に近いものとなり、そこでタリ領域では Darcy の法則が近似的に成立するであろう。本研究は透水層内の point source 流れの流速分布をとりあげ、若その影響を行つたものである。

### 2. 実験装置

実験装置は Fig. 1 に示すやうなもので、断面  $20 \times 18 \text{ cm}$  のアクリル樹脂の水そうの下に幅  $1.2 \text{ mm}$  のスリットを設け、透水物質としてガラスビーズ ( $d = 1.00 \sim 2.38 \text{ mm}$ ) を用いた。さらに越流式のヘッドタンクによって給水を行う。透水層厚は  $25 \text{ cm}$  とした。なお座標のとり方は Fig. 1 のとおりとする。

### 3. 実験結果と考察

(1) CASE I … 水頭が最も低く ( $H = 20 \text{ cm}$ ) イックサンド現象を伴なはない場合。

透度ボテンシャル中  $\phi = \frac{k}{\mu} (P + \rho g Z)$  の実測値と、Darcy の法則に基く吹出し流れとした理論値  $\phi = -\frac{Q}{2\pi b} \ln(\cosh \frac{\pi}{b} Z - \sin \frac{\pi}{b} X)$  とはよく一致するといふが認められた。すくに  $Z$  方向の流速  $W$  と理論値  $W = \frac{Q}{2b} \frac{\sinh \frac{\pi}{b} Z}{\cosh^2 \frac{\pi}{b} Z - \sin^2 \frac{\pi}{b} X}$

との比較を Fig. 2 に示す。これによると  $Z = 1, 3$  の範囲では無限小とした point source と有限幅のスリットの違いに付する影響のため、理論値と実測値は差異があるが、 $Z = 5, 7, 9$  では両者は比較的一致していふことが認められる。また二つの場合、乱流強度  $AW/W$  はほとんど零を示し流れに乱れがないことが認められ、CASE I は Darcy の法則に基く吹

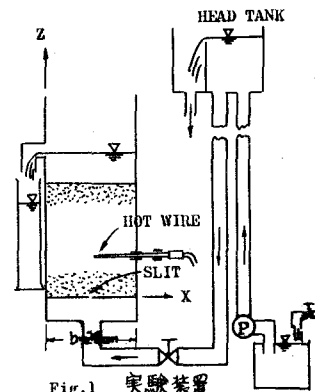


Fig. 1 実験装置

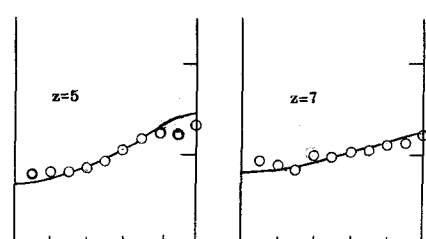
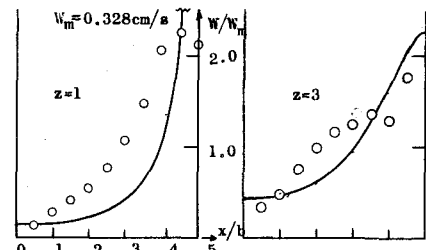


Fig. 2 流速分布 (CASE I)

出し流れといふる。

(2) CASE II ……水頭をあげ限界動水こう配以上にすると、スリットの近傍の長円形の領域で「イックサンド」を起す場合( $H = 40\text{ cm}$ )。

この場合、流速分布において、  
「イックサンド層(流动層)と透水層  
(透水層)の境界付近に山ができる  
こと」が測定された。これは熱線  
保護の金網の影響で透水層ではほと  
んどなかったが、イックサンド層  
において初めてきたものと考えられ  
る。したがってイックサンド層の  
流速を測定するにはこの保護方法はあまり適當でない  
と考える。また二の場合乱流値は両層の間にかけて急  
激に変化することが測定された。

(3) CASE III ……イックサンドを完全に行た場合  
( $H = 42\text{ cm}$ )。

この場合、流速分布を Fig. 3 に示す。また  $x=10\text{ cm}$   
(中心)の速度  $W_{max}$  の  $z$  方向の変化は  $z^{\frac{1}{2}}$  に比例することが  
認められた (Fig. 4)。これが 2 次元乱流噴流の理論解

$W_{max} = \frac{\sqrt{3}}{2} \sqrt{K_0 z}$  の関係を満足する。ただし金網の影  
響があるため速度の絶対値としては誤差があると考え  
る。

また  $\frac{\partial W}{\partial z}$  は CASE I に比べて 1 オーダー大きくなり  
,  $\frac{\partial P}{\partial z}$  は減少して「山」こと成認められた。しかし、てこ  
の場合、イックサンド領域にて流れは 2 次元乱  
流噴流の性格が強い。次に Fig. 5 に乱流値の変化を示  
す。CASE II 同様、イックサンド層と透水層の間に  
かけて乱れの急激な変化をしていく。特にスリット近  
傍では大きな値を示す。

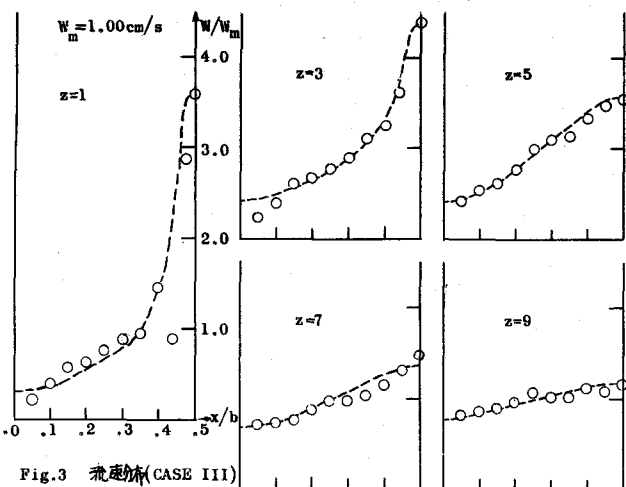


Fig. 3 流速分布(CASE III)

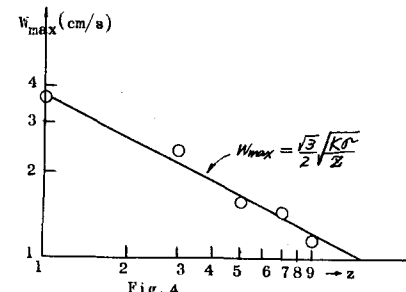


Fig. 4

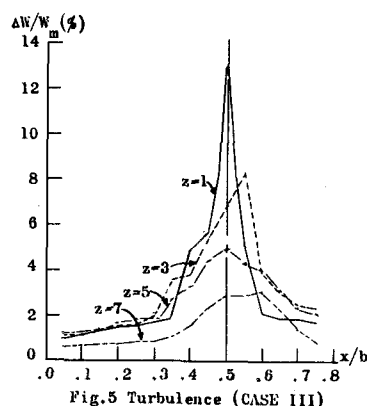


Fig. 5 Turbulence (CASE III)

### [参考文献]

Scheidegger, E : The Physics of Flow Through Porous Media